

مطالعه شیمی کانی‌ها، زمین دما-فشار سنگی و جایگاه تکتونیکی گابروهای شمال غرب همدان، باخترا ایران

عادل ساکی^{۱*}، هوشنگ پورکاسب^۲، علیرضا زراسوندی^۳، میلاد جهانی^۴ و مریم درانی^۵

۱. دانشیار پترولوزی، دانشکده علوم زمین، دانشگاه شهید چمران اهواز
۲. دانشیار زمین‌شناسی اقتصادی، دانشکده علوم زمین، دانشگاه شهید چمران اهواز
۳. استاد زمین‌شناسی اقتصادی، دانشکده علوم زمین، دانشگاه شهید چمران اهواز
۴. کارشناسی ارشد، زمین‌شناسی اقتصادی، دانشکده علوم زمین، دانشگاه شهید چمران اهواز
۵. استادیار پترولوزی، دانشکده علوم پایه، دانشگاه شهید باهنر کرمان

تاریخ دریافت: ۹۷/۱۰/۲۶

تاریخ پذیرش: ۹۸/۰۱/۱۷

چکیده

منطقه مورد مطالعه از نظر زمین‌شناسی در ناحیه شمالی زون دگرگونی سندج-سیرجان قرار گرفته است. بر اساس مطالعات پتروگرافی کانی‌های اصلی پلاژیوکلاز، پیروکسن، آمفیبیول و بیوتیت و کانی‌های فرعی کلریت، مسکوبیت، ایلمنیت و زیرکن می‌باشدند. نتایج به دست آمده از بررسی شیمی کانی‌های نشان می‌دهد که آمفیبیول‌های مورد مطالعه جزء آمفیبیول‌های کلسیک می‌باشند. از نظر ترکیب شیمیابی می‌توان آن‌ها را پارگاسیت، چرم‌کیت و منیزیو هورنبلند نام‌گذاری نمود. پلاژیوکلازها نیز از نوع آندزین هستند. با توجه به نسبت پایین Na_2O از نظر محیط تکتونیکی نیز این آمفیبیول‌ها از نوع S-Amph هستند. میزان بالای Al_2O_3 بیانگر این است که منشا آمفیبیول‌های گوشتی‌ای می‌باشد و بر اساس نسبت $\text{Al}^{\text{tot}}/\text{Fe}^{\text{tot}} + \text{Mg}^{(2)}$ در برابر $\text{Al}^{\text{tot}}/\text{Fe}^{\text{tot}}$ که کمتر از ۰/۶ می‌باشد می‌توان نتیجه گرفت که گرینزندگی اکسیژن بالا است. از سوی دیگر می‌توان گفت که میزان آب برای تبلور هورنبلند از ۲/۳ تا ۲/۳ متغیر است. برای انجام دما‌سنجی و فشار‌سنجی نیاز از روش‌های مختلفی استفاده شده است که بهترین آن نشان می‌دهد دمای تشکیل توده گابروی در محدوده ۷۰۰ درجه سانتی گراد (به طور میانگین) می‌باشد و فشار این سنگ‌ها نیز بین ۴/۴۵ تا ۷/۵۰ می‌باشد. با توجه به فشار به دست آمده مانند مطالعه از عمق ۲۵ تا ۳۰ کیلومتری منشا گرفته است که در نزدیکی مرز موهو است.

واژه‌های کلیدی: شیمی کانی، آمفیبیول، زمین دما-فشار‌سنجی، جایگاه تکتونیکی، گابرو، همدان.

مقدمه

از طبقه‌بندی‌های جامع و قابل استناد در بحث شیمی آمفیبیول‌ها از لیک و همکاران (Leak et al., 1997) ارائه شده است که مبتنی بر آن آمفیبیول‌ها بر اساس شیمی خود به انواع مختلف تقسیم می‌شوند. می‌توان گفت که پرکاربردترین روش برای تقسیم‌بندی شیمیابی کانی‌ها

گابرو-سنگی آذرین درونی، تیره‌رنگ و درشت دانه‌ای می‌باشد که عمدهاً از کانی‌های پلاژیوکلاز و پیروکسن تشکیل شده است. تاکنون طبقه‌بندی‌های زیادی پیرامون شیمی کانی‌ها مخصوصاً آمفیبیول صورت گرفته است. یکی

* نویسنده مرتبط: adel_saki@yahoo.com

آمفیبیول-کلینوپیروکسن دمای تشکیل سنگ‌ها را تخمین زده‌اند. به علاوه از روی ترکیب کلینوپیروکسن و زوج کانی کلینوپیروکسن-پلاژیوکلاز می‌توان عمق سنگ‌های آذرین را تخمین زد (Was 1979; Liu et al., 2000; 2000; Otten, 1984; Johnson and Rutherford, 1989; Blundy and Holland, 1990; Anderson and Smith, 1995; Anderson, 1996; Schmidt, 1992; Wu and Chen, 2002) و Zhang et al., 2015 اشاره کرد. هدف از مقاله حاضر بررسی شیمی کانی‌های آمفیبیول و پلاژیوکلاز و استفاده از ترکیب شیمیابی آنها برای تعیین شرایط تکتونوماگمایی و زمین دما-فشار سنجی توده گابروی چشمه قصابان همدان است. پیش از این نیز مطالعاتی در ارتباط با زمین شیمی این سنگ‌ها در منطقه انجام شده است. (Ayati et al., 2012; Mahmoudabadi et al., 2012; Nasrabad 2012,).

زمین‌شناسی منطقه

ایران از نظر زمین‌شناسی از پهنه‌های مختلفی چون زاگرس چین خورده، زاگرس رورانده، سندج-سبرجان، البرز، کوه داغ، دشت خوزستان، ایران مرکزی و لوت تشکیل شده است (Stockline, 1968). براساس تقسیم‌بندی‌های ساختاری ایران پهنه سندج-سیرجان به عنوان یکی از پهنه‌های دگرگونی مورد بررسی قرار گرفته است. با توجه به تقسیم‌بندی‌های فوق الذکر، منطقه مورد مطالعه به دلیل خصوصیات ساختاری و سنگ‌شناختی جزء زون سندج-سیرجان می‌باشد. این پهنه یک کمرین دگرگونی است و از سه قسمت شمالی، مرکزی و جنوبی تشکیل شده است که هر کدام از این مناطق دارای ترکیب سنگ‌شناختی و کانی‌شناختی خاص خود هستند. ناحیه سندج-سیرجان به عنوان پرتکاپوتین پهنه‌های ساختاری در ایران بخشی از کوهزاد زاگرس و کوهزاد آلپ-هیمالیا است که در اثر همگرایی میان بخش شمالی گندوانا با بلوك‌های جنوب اوراسیا شکل گرفته است (Berberian and King, 1981; Sengor, 1990; Alavi, 1996; Brunet et al., 2009). پهنه سندج-سیرجان توسط گسل اصلی و معکوس زاگرس

همین طبقه‌بندی است که آمفیبیول‌ها را در ابتدا به چهار گروه اصلی و نهایتاً گروه‌های فرعی تقسیم می‌کند. پس از چند سال طبقه‌بندی دیگری نیز توسط Lick و همکاران (Leake et al., 2004) ارائه شد. بر اساس این طبقه‌بندی می‌توان آمفیبیول‌ها را به رده‌های مختلف تقسیم‌بندی کرد. پس از این طبقه‌بندی، طبقه‌بندی‌های دیگری نیز ارائه شد که یکی از بهترین آنها طبقه‌بندی هاوتن و همکاران (Hawthorne et al., 2012) است. این طبقه‌بندی جدیدترین طبقه‌بندی است که تاکنون ارائه شده است. با استفاده از شیمی آمفیبیول‌ها علاوه بر تقسیم‌بندی شیمیابی آنها می‌توان رده‌بندی تکتونوماگمایی و موقعیت زمین ساختی توده آذرین را نیز مشخص کرد (Coltorti et al., 2007). بر همین اساس می‌توان تعیین کرد که توده مد نظر با فرآیند فرورانش مرتبط است یا از نوع میان صفحه‌ای است. علاوه بر آن از ترکیب شیمیابی آمفیبیول می‌توان برای تعیین نوع و ماهیت مagma نیز استفاده کرد (Nachit, 1985). برای طبقه‌بندی شیمیابی بیوتیت‌های زیادی استفاده شده است (Foster, 1960); (Rieder et al., 1998)

(Deer et al., 1991; Nachit 2005) هر کدام از این طبقه‌بندی‌ها جنبه خاصی را مدنظر قرار داده‌اند. با استفاده از ترکیب شیمیابی بیوتیت‌ها می‌توان موقعیت تکتونوماگمایی را نیز مشخص کرد (Adel Rahman, 1994). برای بررسی شیمی پلاژیوکلازانیز به عنوان یکی از کانی‌های سیلیکاتی (Deer et al., 1991) روشی را ارائه کرد که تا کنون غالب کانی شناسان از آن استفاده کرده‌اند. جنبه دیگر این تحقیق زمین دما-فشار سنجی است. دما-فشار سنجی عبارت است از تعیین کمی مقدار دما و فشاری که در آن‌ها کانی‌های یک سنگ دگرگونی یا آذرین تشکیل شده و به تعادل رسیده‌اند، لذا هدف از این مطالعات و محاسبات درک بهتر از شرایطی است که یک سنگ دگرگونی یا آذرین در آن شکل گرفته است. بر همین اساس امروزه از شیمی کانی‌ها برای تخمین دما و فشار و تعیین جایگاه تکتونیکی توده آذرین استفاده می‌کنند. زمین‌شناسانی مانند (Lindsley 1983) از روی ترکیب پیروکسن و (Anderson, 1996) از روی زوج کانی

پژوهش مورداستفاده قرارگرفته است. برای محاسبه کاتیون‌ها از نرم‌افزار MineralForDroop استفاده شده است.

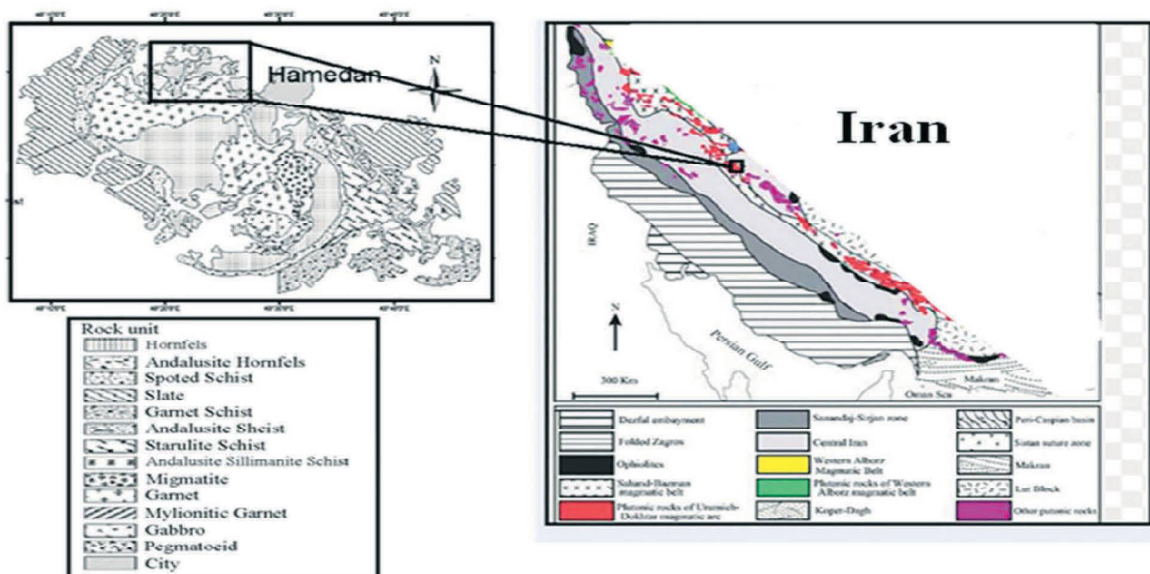
پتروگرافی

در نمونه دستی گابروها با رنگ سبزروشن و بافت گرانولار دیده می‌شوند و بلورهای تقریباً درشت پلاژیوکلاز و پیروکسن در متن سنگ قابل مشاهده هستند. در این نمونه‌ها پدیده ذوب بخشی کاملاً مشهود به نظر می‌رسد. پلاژیوکلاز و بیوتیت مهم‌ترین کانی موجود در مقاطع میکروسکوپی است. همان‌طور که در شکل (۲) مشاهده می‌شود پلاژیوکلاز سریسیتی شده و به صورت یوهدرال دیده می‌شود (۲-ب). انورتیت را ملاحظه می‌کنید که کلیستی شده و سطوح رخ‌ها کاملاً روی آن مشهود است (۲-ج). بیوتیت از دیگر کانی‌های اصلی است که به رنگ قهوه‌ای در مقاطع مشهود است (شکل ۲-ث). کلینوپیروکسن نیز از کانی‌های اصلی است و از نظر شکل غالباً ساب هدرال هستند (شکل ۲-الف). این کانی دارای خاموشی موجی است. در شکل (۲-الف) هورنبلندهای معمولی با رخ لوزی مانند با ماکل زیاد را مشاهده می‌کنید. ماکل هورنبلندها از نوع دوقلو بوده می‌باشد. سریسیت و مسکویت نیز به صورت فرعی و بسیار ریز در متن مقاطع دیده می‌شوند (شکل ۲-ب). هماتیت و مگنتیت نیز به عنوان کانی‌های فرعی در کنار ایلمنیت، کلریت و زیرکن دیده می‌شوند. یعنی بلورهای درشت در متن سنگ رشد کرده و زمینه سنگ را اشباع کرده‌اند.

از کمریند چین خورده زاگرس جدا می‌شود و فرآیندهای مختلف ماقمایی و دگرگونی را طی دوره‌های مختلف طی می‌کند (Agard et al., 2005). از نظر زمین‌ریخت‌شناسی بین شکل و توپوگرافی منطقه مورد مطالعه و نوع و جنس سنگ‌ها ارتباط نزدیکی وجود دارد. سنگ‌های دگرگونی ناحیه‌ای این منطقه شامل: گارت شیست، استارولیت آندالوزیت گارت شیست و استارولیت سیلیمانیت گارت شیست و سنگ‌های دگرگونی مجاورتی اطراف توده نفوذی ± الوند شامل: کوردیوریت هورنفلس و کوردیوریت آندالوزیت سیلیمانیت هورنفلس هستند. در این منطقه نفوذی‌ها شامل انواع متفاوتی از سنگ‌های گابروی درشت‌دانه تا متوسط دانه و گرانیت‌های پورفیریتیک لوکوکرات است. درواقع توده پلوتونیک الوند شامل سه مجموعه سنگی گابرو، گرانیت و لوکوگرانیت می‌باشد (Shahbazi et al., 2010) (شکل ۱).

روش مطالعه

برای بررسی شیمی آمفیبول و پلاژیوکلاز به ترتیب تعداد ۵ و چهار نمونه در انجیستتو زمین و علوم محیط‌زیست دانشگاه پتسدام آلمان توسط روش دستگاهی میکروپرپ الکترونی (EMPA) (جداول ۱ و ۲) مدل دستگاه JXA-8200 JEOL با ولتاژ شتاب‌دهنده ۲۰ Kv، باریکه جریان ۲۰ nA، با قطر باریکه‌ای برابر $1 \mu\text{m}$ و زمان شمارش حداقل ۲۰ ثانیه به صورت نقطه‌ای آنالیز و نتایج آن در این



نقشه ۱. نقشه زمین‌شناسی منطقه مورد مطالعه با اقتباس از ایزدی کیان و همکاران، (۱۳۹۲)



شکل ۲. (الف) کلینوپیروکسن با بیرونی انس بنفش تارگوانی مشخص است. (ب) سریسیتی شدن پلازیوکلاز را نشان می‌دهد که در حال تبدیل به سریسیت است. در این تصویر بلورهای ریزمکویت و سریسیت دیده می‌شوند، (پ و ت) بلورهای پلازیوکلاز و فرآیند سریسیتی شدن پلازیوکلازها را نشان می‌دهد، (ث) بیوتیت را نشان می‌دهد که به عنوان یکی از کانی‌های اصلی سنگ‌های گابرویی است، (ج) آنورتیتی را مشاهده می‌کنید که در حال کلسیتی شدن است

شیمی کانی‌ها

Challis 2000; Stein and Dietl, 2001; Zhang et al., 2006; Masoudi and Jamshidi Badr, 2008;

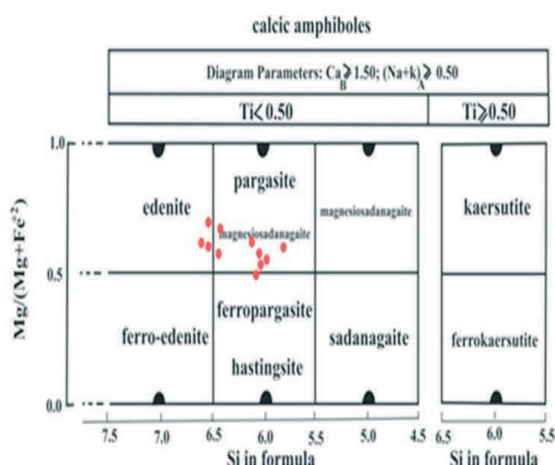
آمفیبول

نتایج آنالیز رئوشیمیایی بر اساس تجزیه (EMPA) در جدول (۱) آورده شده است. براساس رده‌بندی Leake et al., 1997 آمفیبول‌های مورد تحقیق جزء گروه کلسیک به حساب می‌آیند (شکل ۳) و از نظر ترکیب شیمیایی غالباً در زیر گروه Pargasite هستند و تعدادی از نمونه‌ها نیز در زیر گروه Edenite قرار می‌گیرند (شکل ۳). از سوی دیگر براساس شکل ۴ ترکیب شیمیایی کانی‌های مورد مطالعه از Magnesiohomblende تا Tschermakite متغیر است.

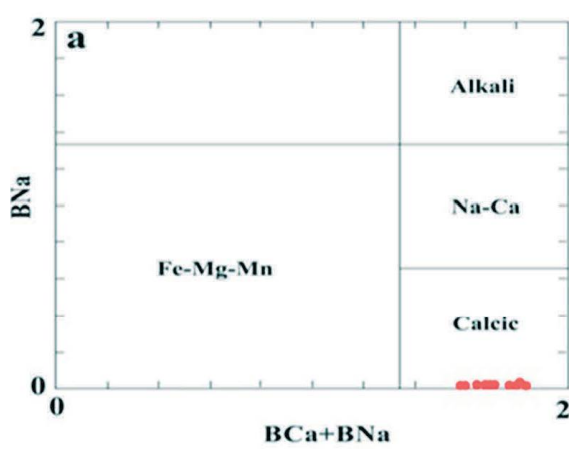
برای تعیین شرایط فیزیکوشیمیایی تبلور و محیط تکتونوماگمایی توده‌های نفوذی می‌توان از شیمی آمفیبول استفاده نمود. با استفاده از شیمی کانی آمفیبول می‌توان به بررسی پارامترهای ترمودینامیکی تبلور از جمله فشار، دما و گریزندگی اکسیژن پرداخت. آمفیبول‌ها برای ارزیابی شرایط P-T توده‌های نفوذی کالک‌آلکالن جایگیر شده در کمربندهای کوهزایی مناسب هستند. این کانی مفیدترین کانی برای زمین دما‌سنگی بوده و دما‌سنگ هورنبلند-پلازیوکلاز و زمین فشار-سنگی آلومنیوم در هورنبلند برای آشکارسازی دماهایی که در نفوذی‌ها جایگیر می‌شوند مناسب‌اند (Blundy and Holland, 1990; Tulloch and

جدول ۱. نتایج آنالیز شیمیایی آمفیبیول به روش (EMPA) که بر اساس ۲۳ اکسیژن محاسبه شده است

| Sample | Gs29-1 | Gs 29-2 | Gs29-3 | Gs29-4 | Gs29-5 | Ga29-6 | Ga29-7 | Gs29-8 | Gs29-9 | Gs29-10 | Gs29-11 |
|--------------------------------|--------|---------|--------|--------|--------|--------|--------|--------|--------|---------|---------|
| Mineral | Amp | Amp | Amp | Amp | Amp | Amp | Amp | Amp | Amp | Amp | Amp |
| SiO ₂ | 41/59 | 41/97 | 45/76 | 42/23 | 49/59 | 44/50 | 44/16 | 42/44 | 44/14 | 44/75 | 40/6 |
| TiO ₂ | 1/0.3 | 0/20 | 2/11 | 2/52 | 0/51 | 1/72 | 1/83 | 2/52 | 0/0.2 | 0/0 | 0/11 |
| Al ₂ O ₃ | 14/98 | 16/26 | 10/54 | 12/50 | 7/49 | 12/0.3 | 11/84 | 16/26 | 14/91 | 13/76 | 19/89 |
| Cr ₂ O ₃ | 0/0.4 | 0/0.1 | 0/0.5 | 0/0.2 | 0/0 | 0/0.2 | 0/0 | 0/0.0 | 0/0.0 | 0/0.2 | 0/0.0 |
| FeO | 18/88 | 18/22 | 13/0.3 | 15/18 | 14/46 | 14/44 | 12/94 | 15/12 | 14/85 | 14/96 | 15/0.1 |
| MnO | 0/16 | 0/16 | 0/17 | 0/12 | 0/19 | 0/20 | 0/16 | 0/21 | 0/24 | 0/23 | 0/25 |
| MgO | 8/11 | 8/36 | 13/16 | 11/19 | 13/98 | 11/96 | 12/30 | 11/18 | 12/22 | 12/62 | 9/39 |
| CaO | 11/62 | 11/65 | 12/9 | 11/85 | 12/24 | 11/91 | 12/20 | 11/36 | 11/60 | 11/24 | 11/49 |
| Na ₂ O | 1/78 | 1/76 | 1/59 | 1/82 | 1/11 | 1/71 | 1/80 | 2/0.3 | 1/91 | 1/72 | 2/0.7 |
| K ₂ O | 0/87 | 0/88 | 0/72 | 0/98 | 0/11 | 0/75 | 0/78 | 0/65 | 0/52 | 0/47 | 0/81 |
| Totals | 98/89 | 99/49 | 99/25 | 99/0.8 | 99/73 | 99/28 | 99/0.6 | 99/31 | 99/95 | 99/80 | 99/14 |
| Si | 6/21 | 6/20 | 6/919 | 6/142 | 6/210 | 6/553 | 6/488 | 6/120 | 6/443 | 6/526 | 5/943 |
| Ti | 0/11 | 0/0.2 | 0/230 | 0/289 | 0/272 | 0/191 | 0/189 | 0/273 | 0/0.2 | 0/0.0 | 0/0.12 |
| Al | 2/84 | 2/83 | 1/797 | 2/0.18 | 2/0.40 | 2/0.88 | 2/0.87 | 2/764 | 2/0.13 | 2/365 | 2/478 |
| Cr | 0/00 | 0/00 | 0/00.6 | 0/00.2 | 0/00.2 | 0/00.2 | 0/00.2 | 0/000 | 0/000 | 0/00.2 | 0/000 |
| Fe (2+) | 2/23 | 2/25 | 1/576 | 1/80.4 | 1/824 | 1/778 | 0/455 | 1/823 | 1/788 | 1/825 | 1/862 |
| Mn | 0/0.2 | 0/0.2 | 0/0.21 | 0/0.14 | 0/0.15 | 0/0.25 | 1/30.6 | 0/0.26 | 0/0.30 | 0/0.28 | 0/0.31 |
| Mg | 1/80 | 1/84 | 2/838 | 2/370 | 2/396 | 2/625 | 0/0.25 | 2/4.3 | 2/659 | 2/744 | 2/0.77 |
| Ca | 1/86 | 1/84 | 1/874 | 1/80.4 | 1/824 | 1/879 | 2/800 | 1/755 | 1/814 | 1/756 | 1/826 |
| Na | 0/51 | 0/50 | 0/446 | 0/501 | 0/000 | 0/000 | 1/861 | 0/000 | 0/000 | 0/000 | 0/000 |
| K | 0/18 | 0/16 | 0/132 | 1/80.9 | 1/829 | 0/141 | 0/000 | 0/120 | 0/97 | 0/0.87 | 0/102 |
| Totals | 15/6 | 15/6 | 15/0.3 | 15/73 | 15/210 | 15/28 | 15/13 | 15/28 | 15/34 | 15/33 | 15/38 |
| XMg _(M2) | 0/19 | 0/16 | 0/40 | 0/44 | 0/41 | 0/28 | 0/26 | 0/9 | 0/15 | 0/15 | 0/00 |
| XMg _(M1) | 0/45 | 0/48 | 0/66 | 0/56 | 0/56 | 0/66 | 0/66 | 0/67 | 0/71 | 0/26 | 0/35 |
| X _{Al(T2)} | 0/912 | 0/45 | 0/35 | 0/46 | 0/12 | 0/37 | 0/37 | 0/49 | 0/41 | 0/39 | 0/53 |
| X _{Al(M2)} | 0/40 | 0/48 | 0/19 | 0/0.8 | 0/44 | 0/27 | 0/27 | 0/37 | 0/40 | 0/36 | 0/63 |
| Mg/(Mg+Fe ²⁺) | 0/49 | 0/52 | 0/86 | 0/56 | 0/56 | 0/66 | 0/66 | 0/68 | 0/72 | 0/73 | 0/84 |



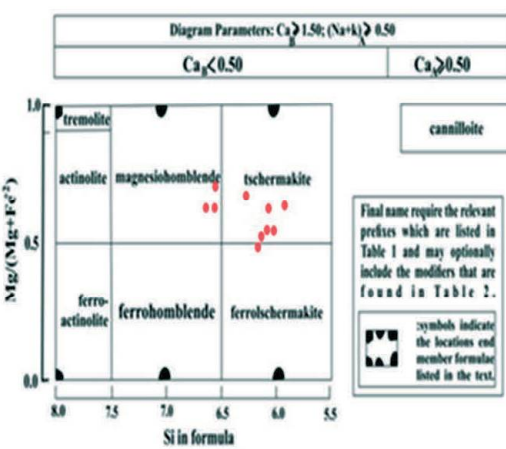
شکل ۴. تقسیم‌بندی بر اساس ترکیب شیمی کانی آمفیبیول
(Leake et al., 1997)



شکل ۳. تقسیم‌بندی آمفیبیول بر اساس ترکیب شیمیایی
(Leak et al., 1997)

سنگ‌های آذرین است که از ترکیب شیمیایی آن برای تعیین شرایط تحول سنگ‌های مادر استفاده می‌شود. ترکیب این کانی نسبت به دما، فشار و محتوای آب حساس است (Putirka, 2008). تغییرات محدوده گستره تقربی پلازیوکلاز در زمین فشار سنجی بر مبنای محتوای Al هورنبلند به عنوان یک ویژگی مناسب تلقی می‌شود (Hollister et al., 1987). نتایج آنالیز زمین شیمیایی به روش (EMPA) برای پلازیوکلاز در جدول (۲) آورده شده است. با توجه به بررسی شیمی کانی‌ها ترکیب شیمیایی ۴ نمونه از پلازیوکلازها را در نمودار (Deer et al., 1991) ارتوز-آلبیت-آنورتیت ملاحظه می‌کنید. بر اساس این نمودار ترکیب شیمیایی پلازیوکلازها از نوع Andesian می‌باشد

پلازیوکلاز یکی از کانی‌های مهم و اصلی در ترکیب (شکل ۶).

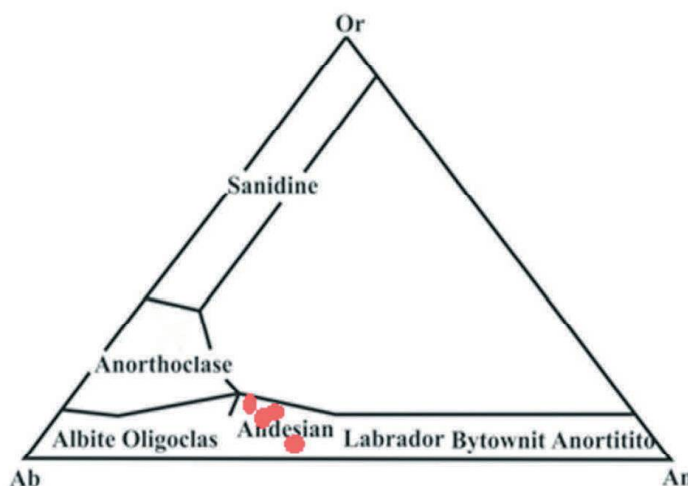


شکل ۵. تقسیم‌بندی بر اساس ترکیب شیمی کانی آمفیبول (Leake et al., 1997)

پلازیوکلاز

جدول ۲. آنالیزهای معرف کانی پلازیوکلاز. تعداد کاتیون‌ها براساس ۸ اتم اکسیژن محاسبه شده است

| Sample | Gs29-1 | Gs29-2 | Gs29-3 | Gs29-4 |
|--|--------|--------|--------|--------|
| Mineral | Pl | Pl | Pl | Pl |
| SiO_2 | 46/96 | 53/52 | 50/67 | 57/45 |
| TiO_2 | 0/01 | 0/03 | 0/01 | 0/03 |
| Al_2O_3 | 0/08 | 17/95 | 32/86 | 27/87 |
| Cr_2O_3 | 0/01 | 0/02 | 0/00 | 0/00 |
| FeO | 1/58 | 0/09 | 0/07 | 0/11 |
| MnO | 0/00 | 0/00 | 0/00 | 0/00 |
| MgO | 0/48 | 0/00 | 0/00 | 0/00 |
| CaO | 0/04 | 12/42 | 14/74 | 9/01 |
| Na_2O | 0/08 | 4/31 | 3/21 | 6/24 |
| K_2O | 11/34 | 0/04 | 0/04 | 0/09 |
| Totals | 97/27 | 10/124 | 10/163 | 96/710 |
| | | | | |
| Si | 3/63 | 2/73 | 2/27 | 2/55 |
| Ti | 0/00 | 0/00 | 0/00 | 0/00 |
| Al | 0/00 | 1/08 | 1/73 | 1/45 |
| Cr | 0/00 | 0/00 | 0/00 | 0/00 |
| Fe(2+) | 0/10 | 0/00 | 0/00 | 0/00 |
| Mn | 0/00 | 0/00 | 0/00 | 0/00 |
| Mg | 0/05 | 0/00 | 0/00 | 0/00 |
| Ca | 0/00 | 0/68 | 0/70 | 0/42 |
| Na | 0/01 | 0/42 | 0/27 | 0/53 |
| K | 1/11 | 0/00 | 0/00 | 0/00 |
| Totals | 4/90 | 4/91 | 5/00 | 4/98 |
| $\text{Na}/(\text{Na}+\text{K}+\text{Ca})$ | 0/01 | 0/38 | 0/28 | 0/55 |
| $\text{K}/(\text{Na}+\text{K}+\text{Ca})$ | 0/98 | 0/00 | 0/00 | 0/00 |
| $\text{Ca}/(\text{Na}+\text{K}+\text{Ca})$ | 0/00 | 0/61 | 0/71 | 0/44 |



شکل ۶. ترکیب شیمیایی کانی پلازیوکلاز براساس (Deer et al., 1991) در محدوده آندزین قرار گرفته است

زمین دما فشارسنجی

براساس (1994) بازنگری و اصلاح شد. این پژوهشگران کالیبراسیون این زوج را روی آمفیبول و گارنت-آمفیبولیت انجام دادند. برای محاسبه زمین-دما سنجی با روش Blundy and Holland, 1990 و با توجه به جدول ۳ آمفیبول‌های تشکیل شده در توده گابرویی مورد پژوهش با فرض فشار ۴ کیلوبار در یک بازه دمایی (۵۳۰-۷۴۵) و با فرض فشار ۵ کیلوبار (۵۴۰-۷۴۰) درجه سانتی‌گراد به وجود آمدند. بر اساس (Anderson and Smith, 1995) آمفیبول‌های تشکیل شده یک بازه دمایی ۶۳۵-۷۴۰ را شامل می‌شوند و بازه‌فشاری تشکیل آن‌ها (۴/۳ تا ۹/۸) کیلوبار است (جدول ۴). با توجه به روش آندرسون (Anderson, 1996) نیز دمای حاصله در یک محدوده دمایی ۶۳۸-۷۱۶ درجه سانتی‌گراد و فشاری برابر ۱۲/۰-۴/۵ کیلوبار می‌باشد (جدول ۴). در جدول ۵ نتایج چهار روش فشارسنجی براساس میزان آلومینیوم موجود در هورنبلند آورده شده است. بر اساس نتایج حاصل از (Johnson and Rutherford, 1989) محدوده فشار ۴/۱۰-۱۱/۲۰ کیلوبار می‌باشد. به ترتیب بر اساس، (Hammarstrom and Zen, 1986) و (Anderson and Smith, 1995) و (Schmidt, 1992) فشارهای توده گابرویی مورد نظر (۶/۲-۱۳/۵۰)، (۰-۱۳/۵۰) و (۵/۵) کیلوبار هستند.

براساس (Holister et al., 1987) و (Schmidt, 1992) بسیاری از زمین‌فشارسنجها بر پایه میزان آلومینیوم موجود هورنبلند ساخته شده است. دماسنج آمفیبول-پلازیوکلاز نیز برایه مقدار سیلیس و کاتیون‌های آلومینیوم روی موقعیت‌های آمفیبول چهاروجهی کنترل می‌شوند (Hammarstrom and Zen, 1989). بررسی‌ها نشان داد که ترکیب آمفیبول علاوه بر فشار، به دما، فوگاسیتی‌اکسیژن، ترکیب کل و فازهای همزیست بستگی دارد (Hammarstrom, 1989, and Zen, 1989). با درنظر گرفتن این پارامترها به ویژه میزان Al total، روابط زیادی توسط محققین برای محاسبه فشار جایگیری سنگ‌های آذرین ارائه شده است که قابل قبول‌ترین آنها مدلی است که توسط (Schmidt, 1992) معرفی گردید. هورنبلند تبلور یافته در شرایط فوگاسیتی بالای اکسیژن نسبت به هورنبلند رشد یافته در فوگاسیتی پایین، نتایج بهتر و قابل اطمینان‌تری را برای زمین دما-فشارسنجی ارائه می‌دهد (Hammarstrom and Zen, 1989). از سوی دیگر (Blundy and Holland, 1990) نیز روشی با عنوان زوج هورنبلند-پلازیوکلاز معرفی کردند که با استفاده از نمونه‌های طبیعی و آزمایشگاهی به صورت رابطه درآمده است و توسط نمونه‌های طبیعی و آزمایشگاهی کالیبره شده است. این روابط چهار سال بعد توسط (Holland and Blundy, 1990)

مطالعه شیمی کانی‌ها، زمین دما-فشار سنگی و جایگاه تکتونیکی گابروهای...

جدول ۳. نتایج محاسبات دماسنگی به روش زوج هورنبلند-پلاژیوکلاز (Blundy and Holland, 1990)

| Sample | P Kb | T (C) | P Kb | T (C) |
|---------|------|-------|------|-------|
| Gs29-1 | ۴ | ۶۵۲ | ۵ | ۶۵۹ |
| Gs29-2 | ۴ | ۵۲۷ | ۵ | ۵۴۲ |
| Gs29-3 | ۴ | ۷۱۹ | ۵ | ۷۱۴ |
| Gs29-4 | ۴ | ۷۴۶ | ۵ | ۷۴۲ |
| Gs29-5 | ۴ | ۶۷۶ | ۵ | ۶۷۰/۶ |
| Gs29-6 | ۴ | ۷۱۱ | ۵ | ۷۰۹ |
| Gs29-7 | ۴ | ۷۲۴ | ۵ | ۷۲۰ |
| Gs29-8 | ۴ | ۷۲۵ | ۵ | ۷۲۹ |
| Gs29-9 | ۴ | ۶۸۰ | ۵ | ۶۸۵ |
| Gs29-10 | ۴ | ۶۹۲ | ۵ | ۶۹۵ |
| Gs29-11 | ۴ | ۵۸۲ | ۵ | ۶۰۳ |

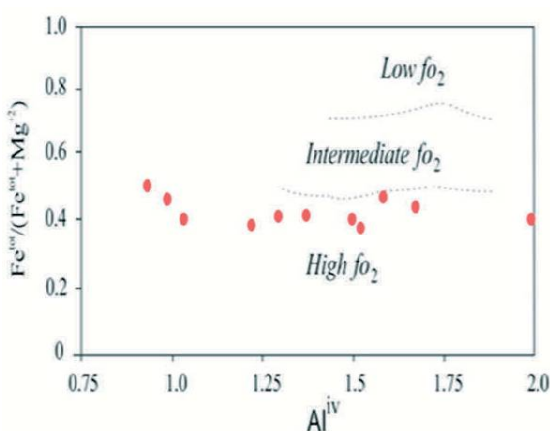
جدول ۴. زمین دما-فشار سنگی بر اساس (Anderson and Smith, 1995)

| Sample | P Kb | T (C) |
|---------|-------|-------|
| Gs29-1 | ۹/۲۱ | ۶۸۸/۹ |
| Gs29-2 | ۱۱/۲۴ | ۶۳۵/۹ |
| Gs29-3 | ۴/۹۴ | ۷۱۵/۰ |
| Gs29-4 | ۵/۸۱ | ۷۳۸/۵ |
| Gs29-5 | ۷/۷۵ | ۶۳۸/۴ |
| Gs29-6 | ۶/۲۶ | ۷۰۷/۵ |
| Gs29-7 | ۵/۹۸ | ۷۱۷/۱ |
| Gs29-8 | ۸/۴۳ | ۷۴۱/۲ |
| Gs29-9 | ۸/۲۰ | ۷۰۰/۰ |
| Gs29-10 | ۷/۵۱ | ۷۰۱/۰ |
| Gs29-11 | ۷/۲۱ | ۷۴۲/۱ |

جدول ۵. فشار سنگی بر اساس میزان آلومینیوم موجود در هورنبلند با استفاده از چهار روش بر اساس (Kb)

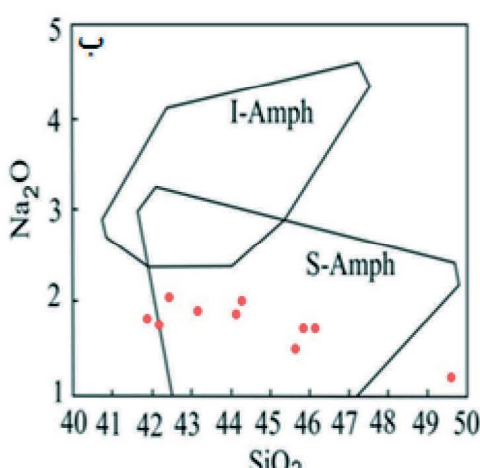
| Sample | Johnson and Rutherford, 1989 | Hammastrom and Zen, 1986 | Schmidt, 1992 | Anderson and Smith, 1995 |
|---------|------------------------------|--------------------------|---------------|--------------------------|
| Gs29-1 | ۷/۷۲ | ۹/۳۷ | ۹/۵۷ | ۷/۹۸ |
| Gs29-2 | ۸/۵۱ | ۱۰/۳۱ | ۱۰/۴۶ | ۸/۷۹ |
| Gs29-3 | ۴/۱۱ | ۵/۰۸ | ۵/۰۱ | ۴/۳۲ |
| Gs29-4 | ۵/۰۴ | ۶/۱۹ | ۶/۵۶ | ۵/۲۷ |
| Gs29-5 | ۵/۱۷ | ۶/۳۴ | ۶/۷۰ | ۵/۴۰ |
| Gs29-6 | ۵/۳۴ | ۶/۵۴ | ۶/۸۹ | ۵/۰۷ |
| Gs29-7 | ۵/۲۵ | ۶/۴۴ | ۶/۸۰ | ۵/۴۸ |
| Gs29-8 | ۸/۲۱ | ۹/۹۶ | ۱۰/۱۳ | ۸/۴۹ |
| Gs29-9 | ۷/۱۶ | ۸/۷۱ | ۸/۹۴ | ۷/۴۱ |
| Gs29-10 | ۶/۵۲ | ۷/۹۵ | ۸/۲۲ | ۶/۷۷ |
| Gs29-11 | ۱۱/۲۲ | ۱۳/۵۳ | ۱۳/۵۱ | ۱۱/۵۳ |

(1991; Botcharnikov et al., 2005; Moretti, 2005 بر اساس شکل (7) و با توجه به نسبت $(\text{Fe}^{\text{tot}}/\text{Mg})^{2+}$ به نسبت $(\text{Fe}^{\text{tot}} + \text{Mg})^{2+}$) عدد بدست آمده کمتر از ۶/۰ است که نشان از گرزندگی بالای اکسیژن است. با توجه به شکل (8) می‌توان گفت که میزان آب مذاب برای تبلور هورنبلد از ۲/۳-۲/۲ درصد وزنی متغیر است که با توجه به آنکه ماغما از آب کافی برخوردار نیست.



شکل ۸. نمودار میزان آب ماغما در برابر دما براساس ترکیب شیمیایی آمفیبول (Ridolfi et al., 2010)

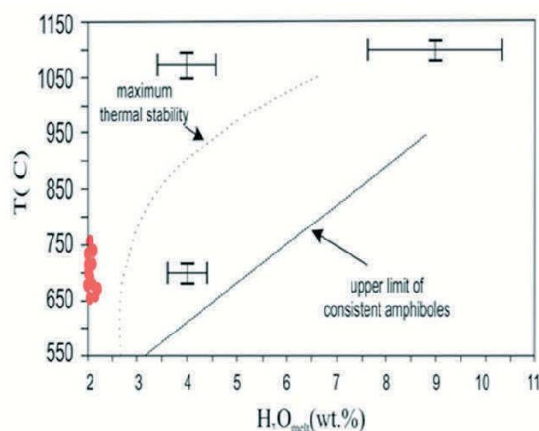
توده گابرویی از نوع S-Amph (شکل ۹-الف) لذا می‌توان این آمفیبول‌ها را به مناطق فرورانش نسبت داد. این آمفیبول‌ها Na_2O و TiO_2 پایین‌تری نسبت به آمفیبول‌های مناطق میان صفحه‌ای (I-Amph) دارند. از سوی دیگر می‌توان گفت که ماغمای تشکیل‌دهنده توده گابرویی از ۴۰ mw/m^2 منشاء گرفته است (شکل ۹-ب).



شکل ۹. (الف) نمودار Na_2O در برابر SiO_2 برای ردیابی تکتونوماگمایی آمفیبول‌ها (Coltorti et al., 2007) و موقعیت آمفیبول‌های منطقه مورد مطالعه، (ب) ترکیب آمفیبول‌های منطقه مورد مطالعه در نمودار (Nachit, 1985) برای تعیین نوع ماغما

تخمین میزان آب و گرزندگی اکسیژن

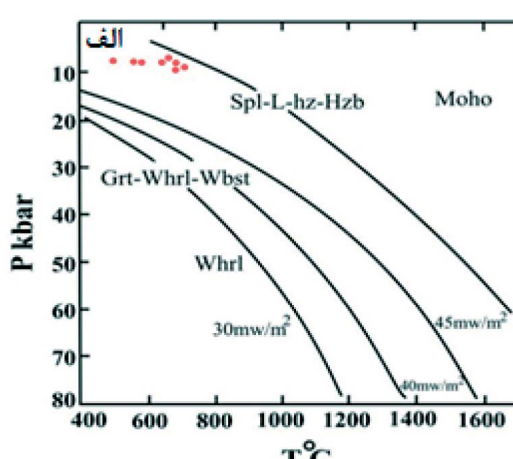
مفهوم گرزندگی اکسیژن برای اولین بار توسط Eugster and Wones, 1963) معرفی شد که متغیر کنترل کننده توانایی اکسایشی یا به تعبیری فشاربخشی اکسیژن است. فوگاسیته اکسیژن را می‌توان عاملی موثر در کنترل فرآیندهای ماغمایی و توالی تبلور و نوع کانی‌های تشکیل‌دهنده ماغما دانست (Kress and Carmichael,



شکل ۷. گرزندگی اکسیژن براساس ترکیب آمفیبول (Anderson and Smith, 1995.)

تعیین جایگاه تکتونوماگمایی

از خصوصیات ژئوشیمیایی آمفیبول‌ها می‌توان برای بررسی ویژگی‌های دگرنهادی محیط‌های تکتونوماگمایی بهویژه محیط‌های فرورانش و درون صفحه‌ای استفاده کرد (Coltorti et al., 2007). از نظر جایگاه تکتونوماگمایی با توجه به میزان پایین Na_2O در برابر SiO_2 آمفیبول‌های



and earlier deformation, International Journal of Earth Sciences, 94,3, 401-419.

- Alavi, M., 1994. Tectonics of the Zagros orogenic belt of Iran: new data and interpretations, Tectonophysics, 229, 211-238.

- Albuquerque, C.A.R., 1973. Geochemistry of biotites from granitic rocks, Northern Portugal. *Geochimica et Cosmochimica Acta*, 37, 1779-1802.

- Anderson, J. L., 1996. Status of thermo-barometry in granitic batholiths: Transactions of the Royal Society of Edinburgh, 87, 125-138. [also published in GSA Special Paper 315]

- Anderson, J. L. and Smith, D. R., 1995. The effect of temperature and oxygen fugacity on Al-in-hornblende barometry, American Mineralogist, 80, 549-59.

- Ayati, F., Kalimi Noghreyan, M. and Khalili, M. 2012. Petrographic and mineral-chemistry of the magmatic-alteration zones south of Salafchegan. *Petrology* 2,8: 1-20 (in Persian).

- Berberian, M. and King, G., 1981. Toward a paleogeography and tectonic evolution of Iran, Canadian Journal of Earth Sciences, 18, 210-265.

- Blundy, J.D. and Holland., T.J.B., 1990. Calcic amphibole equilibria and a new amphibole-plagioclase geothermometer, Contribution to Mineralogy and Petrology, 104, 208-24.

- Blundy, J.D., and Holland, T.J.B., 1990. calcic amphibole equilibria and a new amphibole-plagioclase geothermometer, Contribution to Mineralogy and Petrology, 104, 208-224.

- Botcharnikov, R.E., Koepke, J., Holtz, F., McCammon, C. and Wilke, M., 2005. The effect of water activity on the oxidation and structural state of Fe in a ferro-basaltic melt. *Geochim. Cosmochim. Acta* 69, 5071-5085.

نتیجه‌گیری

کانی‌های اصلی سنگ‌های گابرویی چشم‌های قصابان بیوتیت، آمفیبول، پلازیوکلаз و پیروکسن و کانی‌های فرعی ایلمنیت، کلریت، مسکویت و زیرکن هستند. آمفیبول‌های مورد مطالعه از نوع کلسیک بوده و از نظر ترکیب شیمیایی در رده magnesiohornblende و Pargasite، tchermakit قرار می‌گیرند. پلازیوکلاز نیز از نوع Andesian می‌باشد. براساس مطالعات زمین دما-فشار سنجی این توده در یک بازه دمایی (۷۰۰-۷۵۲) درجه سانتی گراد و فشاری بالغ بر (۴۵۴-۴۰۷) کیلوبار تشکیل شده است. نمونه‌ها در محدوده فوگاسیته اکسیژن بالا قرار دارند ضمن آن که آب مذاب در ماقمای مادر دارای ۲/۳ درصد وزنی است. با توجه به نتایج حاصل از بررسی‌های تکتونوماگمایی آمفیبول‌های مورد مطالعه از نوع S بوده و با زون فروزانش مرتبط هستند ضمن آن که نمونه‌های مورد بررسی از عمق حدود ۴۰ کیلومتری منشا می‌گیرند.

سپاسگزاری

نویسنده‌گان مقاله، از معاونت محترم پژوهشی دانشگاه شهید چمران اهواز جهت قرار دادن پژوهانه سال ۹۶ که بخشی از این تحقیق را حمایت نموده است، تشکر و قدردانی دارد.

منابع

- اشراقی، ص.، ۱۳۸۱. نقشه زمین‌شناسی ۱:۱۰۰۰۰۰ ورقه تویسرکان. سازمان زمین‌شناسی و اکتشافاتمعدنی کشور.
- ایزدی کیان، ل.، مجلل، م. و علوی، س.، ۱۳۹۳. مراحل دگریختی در سنگ‌های دگرگونی منطقه همدان و ارتباط آنها با توده نفوذی الوند؛ *فصلنامه علوم زمین سازمان زمین‌شناسی و اکتشافاتمعدنی کشور*، ۱۹۷-۱۸۷.
- Abdel-Rahman, A.M., 1994. Nature of biotites from alkaline, and peraluminous magmas, *Journal of Petrology*, 35, 525-541.
- Agric, PH., Omrani, J., Jolivent, L. and Mouthereau, F., 2005. Convergence history across zagros (iran): constraints from collisional

- Brunet, M.F., Wilmsen, M. and Granath, J.W., 2009. South Caspian to Central Iran Basins. Geological Society, London, Special Publications, 312.
- Coltorti.M, B.C., Faccini. B., Grégoire, M., O'Reilly, S.Y. and Powell. W., 2007. Amphiboles from suprasubduction and intraplate lithospheric mantle, *Lithos* 99, 68–84.
- Deer, W.A., howie, R.A., Zussman, J., 1991. An Introduction to the Rock Forming Minerals, Longman Scientific and Technical, 528.
- Eugester, H.P. and Wones, D.M.R., 1963. Stability Relations of the Ferruginous Biotite, Annite. *Journal of Petrology*, 3, 1, 82–125.
- Foster, M.D., 1960. Interpretation of the composition of trioctahedral micas, United States Geological Survey Professional Paper, 354-b, 11–49.
- Ghalamghash, J., Mirnejad, H. and Rashid, H 2009. Mixing and Migening of mafic and felsic magmas along the Neo-Thetys continental margin, sanandaj-sirjan zone, NW Iran: A case study from the Alvand pluton, *N. Jb. Miner. Abh.* 186.
- Ghasemi, A. and Talbot, C.J., 2005. A new tectonic scenario for the Sanandaj.Sirjan Zone (Iran), *Journal of Asian Earth Sciences*, 26, 683–693.
- Hammarstrom J.M. and Zen E-An., 1989. Aluminum in hornblende: An empirical igneous geobarometer”, *American Mineralogist*, 71, 1297–1313.
- Holister, L.S., Grisson, G.C., Peters, E.K., Stowell, H.H. and Sisson, V.B., 1987. Confirmation of the empirical correlation of Al in hornblende with pressure of solidification of calc-alkaline plutons, *American Mineralogist*, 72, 231–239.
- Holland, T. and Blundy, J., 1994. Non-ideal interactions in calcic amphiboles and their bearing on amphibole-plagioclase thermometry, *Contribution to Mineralogy and Petrology*, 116, 433–47.
- James, S., and Beard, A., 1986. Characteristic mineralogy of arc-related cumulate gabbros: Implications for the tectonic setting of gabbroic plutons and for andesite genesis, *Geology*, Geological Society of America, 14, 848–858.
- Johnson, M.C. and Rutherford, M.J., 1989. Experimental calibration of an aluminum-in-hornblende geobarometer with application to Long Valley caldera (California) volcanic rocks, *Geology*, 17, 837–841.
- Khanlari, G., Heidari, R.M. and Jafar-Gholizadeh, H., 2010. Engineering Geological Assessment of Alvand Granitic Rocks, The 1st International Applied Geological Congress Department of Geology Islamic Azad University-Mashhad Branch, IRAN, 26–28 April, 408–413.
- Kress, V.C. and Carmichael, I.S.E., 1991. The compressibility of silicate liquids containing Fe_2O_3 and the effect of composition, temperature, oxygen fugacity and pressure on their redox states. *Contribution to Mineralogy and Petrology*, 108, 82–92.
- Leake, B.E., Woolley, A.R., Arps, C.E.S., Birch, W.D., Gilbert, M.C. and Grice, G.D., 1997. Nomenclature of Amphiboles: Report of the subcommittee on A mphiboles of the international mineralogical, *The Canadian Mineralogist*, 35, 219–246.
- Liu, T.C., Chen, B.R. and Chen, C.H. 2000. Melting experiment of a Wannienta basalt in the Kuanyinshan area, northern Taiwan, *Journal of Asian Earth Sciences*, 18, 519–531.
- Mahmoudabadi, L., Tabatabei Manesh,

- S.M., and Torabi, G., 2012. Petrography and mineral chemistry of Eocene volcanic in the southwest of Jandaq (northeast of Isfahan). *Petrology*, 3,10, 95-107.
- Masoudi, F., and Jamshidi Badr, M., 2008. Biotite and Hornblende Composition Used to Investigate the Nature and Thermobarometry of Pichagchi Pluton, Northwest Sanandaj-Sirjan Metamorphic Belt, Iran., 19,4, 329-338.
 - Mohajjal, M. and Fergusson, C.L., 2000. Dextral transpression in Late Cretaceous continental collision, Sanandaj-Sirjan Zone", western Iran, *Journal of Structural Geology*, 22, 1125-1139.
 - Mohajjal, M., Fergusson, C.L. and Saha-di, M.R., 2003. Cretaceous-Tertiary continental collision, Sanandaj-Sirjan Zone, western Iran", *Journal of Asian Earth Sciences*, 21, 397-412.
 - Moretti, R., 2005. Polymerisation, basicity, oxidation state and their role in ionic modelling of silicate melts. *Annals of Geophysics*, 48, 583-608.
 - Nachit H., Ibhi A., Abia E.H. and Ohoud M.B., 2005. Discrimination between primary magmatic biotites, reequilibrated biotites and neo-formed biotites, *Geomaterials (Mineralogy)*, Comptes Rendus, Geoscience 337, 1415-1420.
 - Nachit, H., Razafimahefo, N., Stussi, J.M. and Carron, J.P., 1985. Composition chimique des biotites et typologie magmatique des granitoids, Comptes Rendus Hebdomadaires de Academie des Sciences, 301,11, 813-818.
 - Nasrabady, M., 2012. Thermobarometry of intrusion bodies from Soltanabad area (NE Sabzevar): with special reference to their adjoining metamorphic aureole and reaction rim, *Petrology*, 3,9, 87-106.
 - Otten, M.T., 1984. The origin of brown hornblende in the Artfjallet gabbro and dolerites. *Contribution to Mineralogy and Petrology*, 86, 189-99.
 - Parlak, O., Höck, V. and Delaloye, M., 2000. Suprasubduction zone origin of the Pozanti-Karsanti Ophiolite (Southern Turkey) deduced from whole-rock and mineral chemistry of the gabbroic cumulates, *The Geological Society of London*, 39, 219-224.
 - Putrika, K.D., 2008. Thermometers and barometers for volcanic systems. *Review in Mineralogy and Geochemistry*, 69,1, 61-120.
 - Rieder, M., Cavazzin, G., Dyakonov, Y., Frank-Kamenetskii, V.A., Gottardi, G., Guggenheim, S., Koval, P.V., Muller, G., Neiva, A.M.R., Radoslovich, E., Robert, J.L., Sassi, F.P., Takeda, H., Weiss, Z. and Wones, D., 1998. Nomenclature of the micas, *the Canadian Mineralogist* 36, 36, 41-48.
 - Sabzehei, M. 1974. Les mélanges ophiolitiques de la région d'Sfandagheh (Iran méridional), Etude petrologique et Structurale, Interprétation dans le cadre Iranien. Ph. D. thesis, Université de Grenoble, France.
 - Saki, A., 2010 .Proto-Tethyan remnants in northwest Iran: Geochemistry of the gneisses and metapelitic rocks, *Gondwana Research*, 17, 704-714.
 - Schmidt, M.W., 1992. Amphibole composition in tonalite as a function of pressure: an experimental calibration of the Al-in hornblende barometer. *Contribution to Mineralogy and Petrology*, 110, 304-310.
 - Schmidt, M.W., 1993. Phase relations and compositions in tonalite as a function of pressure: an experimental study at 650 °C, *American Journal of Science*, 293, 1011-60.
 - Sengör, A.M.C., 1990. A new model for

- the Late Paleozoic–Mesozoic tectonic evolution of Iran and implications for Oman. In: Robertson, A. H., Searle, M. P. and Ries, A. C. (eds) *The Geology and Tectonics of the Oman region*. Geological Society, London, Special Publications, 49, 797–83.
- Sepahi, A.A., 2008. Typology and Petrogenesis of Granitic Rocks in the Sanandaj-Sirjan Metamorphic Belt, Iran, with Emphasis on the Alvandplutonic Complex, N, Jb, Geol. Paläont, Abh, Stuttgart. 247,3, 295–312.
 - Sepahi, A.A., Whitney, D. L. and Baharifar, A. A., 2004. Petrogenesis of And-Ky-Sil veins and host rocks, Sanandaj-Sirjan metamorphic belt, Hamadan, Iran. Journal of Metamorphic Geology, 22,2, 119–134.
 - Shahbazi,H., Siebel,W., Pourmoafee, M., Ghorbania,M., Sepahi, A,A., Shang, C.K. and Vousooughi Abedinia, M., 2010. Geochemistry and U-Pb zircon geochronology of the Alvand plutonic complex in Sanandaj-Sirjan Zone (Iran): New evidence for Jurassic magmatism, Journal of Asian Earth Sciences, 39, 9, 668–683.
 - Sheikholeslami, M.R., Rique, A., Mobayen, P., Sabzeie, M., Bellon, and Hashem Emami, M., 2008. Tectono-metamorphic evolution of the Neyriz metamorphic complex, Quri-Kor-e-Sefid area (Sanandaj-Sirjan Zone, SW Iran), Journal of Asian Earth Sciences, 31, 504–521
 - Stein, E., and Dietl,C., 2001. Hornblende thermobarometry of granitoids from the Central Odenwald (Germany) and their implications for the geotectonic development of the Odenwald., Mineralogy and Petrology, 72, 185–207.
 - Stocklin, J., 1968. Structural history and tectonics of Iran, a review. Aapg bulletin 52, 7, 1229–1258.
 - Stoklin,J., 1952. Structural history and tec-tonics of Iran; A rview; American Association of Petroleum Geologists Bulletin, 52,7, 1229–1258.
 - Tulloch, A.J., and Challis, G.A., 2000. Emphacement depths of Paleozoic–Mesozoic plutons from western New Zealand estimated by hornblende-al geobarometry. New Zealand Journal of Geology and Geophysics, 43, 555–567.
 - Wass, S.Y., 1979. Multiple origins of clinopyroxenes in alkali basaltic rocks. Lithos, 12,115–132.
 - Welch, M.D., 2012. IMA report, nomeng-ature of the amphibole supergroup. American Mineralogist, 97, 2031–2048.
 - Wones, D.R. and Eugster, H.P., 1965. Stability of biotite: experiment, theory and applica-tion. American Mineralogist, 50, 1228–1272.
 - Wones, D.R., Eugster, H.P., 1965. Sta-bility of biotite: experiment, theory, and applica-tion”, American Mineralogist, 50, 1228–1272.
 - Wu, C.M. and Chen, H.X., 2015. Revised Ti-in-biotite geothermometer for ilmenite-or ru-tile-bearing crustal metapelites. Science Bulletin, 60, 116–121
 - Wu, C.M., Pan, Y.S., Wang, K.Y. and Zhang, J. 2002. A report on a biotite–calcic horn-blende geothermometer. Acta Geologica Sinica, 76,1: 126–131
 - Yaoling, N., Trinity, G., Suzie, M., Alan, G. and Wolfgang, B., 2002. Mineral chemistry, whole-rock compositions, and petrogenesis of leg 176 gabbros: date and discussion1. Proceedings of the Ocean Drilling Program, Scientific Results, 176, 614–624.
 - Zhang, S.H., Zhaol, Y.S. and Song, B., 2002. Hornblende thermobarometry of the carbonif-erous granitoids inner Mongolia paleo-uplift, Impli-cations for Mineralogy and Petrology, 87, 123–141.